

# Распад ложного вакуума вокруг чёрной дыры

Газизов Ратмир Ленарович

Научный руководитель: Горбунов Дмитрий Сергеевич  
доктор физ.-мат. наук, г.н.с. ОТФ ИЯИ РАН

КАФЕДРА ФИЗИКИ ЧАСТИЦ И КОСМОЛОГИИ

30 мая 2024 г.

# Введение

Вакуум поля Хиггса  
метастабильный

$$V_{eff}(\phi) = \frac{1}{4} \lambda_{eff}(\phi) \phi^4$$

Поле может туннелировать в  
истинный вакуум

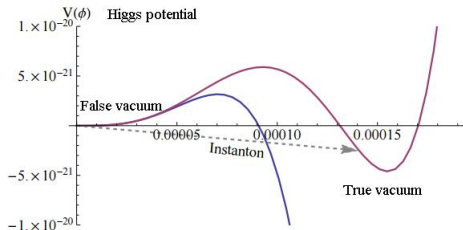


Рис. 1: Эффективный потенциал  
Хиггса

D. Buttazzo et al (2013)

# Инстантоны

$$S = \int d^4x \left( \frac{1}{2}(\partial_t \phi)^2 - \frac{1}{2}(\partial_x \phi)^2 - V(\phi) \right)$$

Вероятность распада ложного вакуума в плоском пространстве-времени:

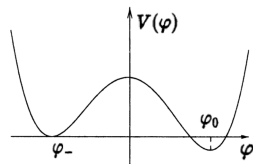
$$P \sim e^{-S_E}$$

Периодические инстантоны в тепловой ванне (для потенциала  $V(\phi)$ ):

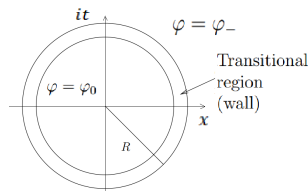
$$T_{\text{Period}} = \beta$$

Для высоких температур  $T$ :

$$P \sim e^{-E_{\text{sph}}/T}$$



Потенциал с ложным вакуумом



Евклидовое решение

# Распад ложного вакуума в присутствии ЧД

Температура Хокинга:

$$T_H = \frac{M_{Pl}^2}{8\pi M_{BH}}$$

Предположение: малые черные дыры имеют высокие температуры  
⇒ значительно увеличивают вероятность распада.

P. Burda et al (2016)

Нужны вычисления из первых принципов

(см. также A. Shkerin, S. Sibiryakov (2021))

## 1. Постановка задачи.

Способ подробно описывается и обсуждается в статьях А. Shkerin, S. Sibiryakov (2021).

В этом разделе мы приводим теоретическое описание процессов, следуя неопубликованной работе Д.Г. Левкова.

Будем формулировать задачу в пространстве вне горизонта ЧД. Также будем предполагать, что энергия пузыря после распада много меньше массы чёрной дыры  $E \ll M_{BH}$ .

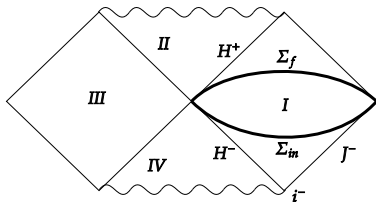


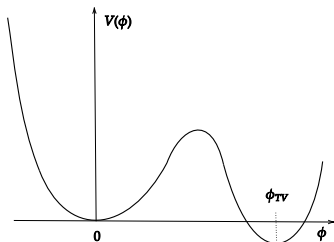
Рис. 4: Диаграмма Пенроуза пространства-времени с ЧД.

## 1.1 Скалярное поле в метрике Шварцшильда

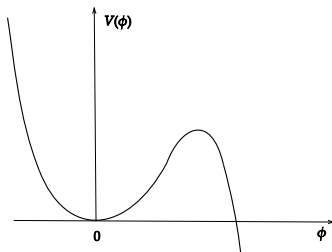
$$ds^2 = f(r) dt^2 - \frac{dr^2}{f(r)} - r^2 d\Omega^2, \quad f(r) = 1 - \frac{2M}{r}, \quad M_{Pl} = 1 \quad (1)$$

Действие скалярного поля  $\phi$ :

$$S = \int \sqrt{-g} d^4x \left( \frac{1}{2} g_{\mu\nu} \partial^\mu \phi \partial^\nu \phi - V(\phi) \right) \quad (2)$$



(a)



(b)

Рис. 5: Потенциалы с ложным вакуумом.

Подстановка:

$$\phi = \frac{\varphi}{r}, x = r + 2M \ln(r - 2M), \quad (3)$$

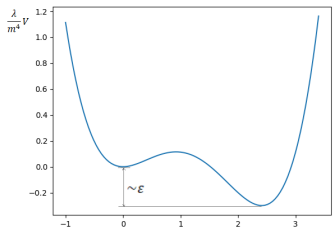
$$S = 4\pi \int dt dx \left( \frac{1}{2} (\partial_t \varphi)^2 - \frac{1}{2} (\partial_x \varphi)^2 - \frac{1}{2} U(x) \varphi^2 - r^2 f(r) V\left(\frac{\varphi}{r}\right) \right), \quad (4)$$

$$\text{где } U(x) = \frac{f(r) f'(r)}{r} = \frac{2M}{r^3} \left( 1 - \frac{2M}{r} \right).$$

Игрушечный потенциал:

$$V(\phi) = \frac{m^2}{2} \phi^2 - \frac{m\sqrt{\lambda}}{2} \phi^3 + \frac{\lambda}{8} (1 - \varepsilon) \phi^4 \quad (5)$$

При  $\varepsilon \ll 1$  выполняется тонкостенное приближение.



С помощью замены  $r \rightarrow \frac{r}{m}, t \rightarrow \frac{t}{m}, x \rightarrow \frac{x}{m}, M \rightarrow \frac{M}{m}, \varphi \rightarrow \frac{\varphi}{\sqrt{\lambda}}$  можно исключить параметры  $\lambda$  и  $m$ :

$$S = \frac{4\pi}{\lambda} \int dt dx \left( \frac{1}{2} (\partial_t \varphi)^2 - \frac{1}{2} (\partial_x \varphi)^2 - \frac{1}{2} U(x) \varphi^2 - f(r) \left( \frac{\varphi^2}{2} - \frac{\varphi^3}{2r} + \frac{(1-\varepsilon)\varphi^4}{8r^2} \right) \right) \quad (6)$$

В таком случае система будет зависеть от безразмерного параметра – безразмерного радиуса горизонта:  $mr_h = 2Mm/M_{Pl}^2$ .



## 1.2 Моды скалярного поля

Малые возмущения около ложного вакуума:

$$V(\phi) \rightarrow \frac{m^2 \phi^2}{2} \quad (7)$$

$$\partial_t^2 \varphi - \partial_x^2 \varphi + U(x)\varphi + m^2 f(r(x))\varphi = 0 \quad (8)$$

Положительно- и отрицательно-частотные моды:

$$\varphi_\omega^+(t, x) = f_\omega(x)e^{-i\omega t}, \quad \varphi_\omega^-(t, x) = f_\omega^*(x)e^{i\omega t}, \quad \omega > 0, \quad (9)$$

где

$$-f_\omega'' + (U(x) + f(x)m^2)f_\omega = \omega^2 f_\omega \quad (10)$$

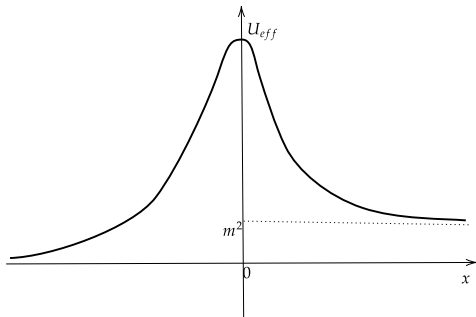


Рис. 7: Качественный вид эффективного потенциала  $U_{eff}(x) = U(x) + m^2 f(x)$

Поле  $\varphi$  может быть проквантовано:

$$\varphi(t, \mathbf{x}) = \int \frac{d\omega}{\sqrt{4\pi\omega}} \sum_{I=R,L} [\hat{a}_{I,\omega} \varphi_{I,\omega}^+(t, \mathbf{x}) + \hat{a}_{I,\omega}^\dagger \varphi_{I,\omega}^-(t, \mathbf{x})], \quad (11)$$

В пространстве в начальный момент времени  $t_i$  есть тепловое излучение, и начальное состояние описывается матрицей плотности. Для правых волн:

$$\hat{\rho}_R = e^{-\beta_H \hat{H}_R}, \quad (12)$$

где  $\beta_H = 1/T_H = 8\pi M$  – обратная температура Хокинга, и:

$$\hat{H}_R = \int_0^\infty dk \omega_k \hat{a}_{R,\omega_k}^\dagger \hat{a}_{R,\omega_k} \quad (13)$$

Для левых волн:

$$\hat{\rho}_L = e^{-\beta_E \hat{H}_L}, \quad (14)$$

где  $\beta$  – обратная температура среды. Полная матрица плотности:

$$\hat{\rho} = \hat{\rho}_L \hat{\rho}_R = e^{-\beta_E \hat{H}_L - \beta_H \hat{H}_R} \quad (15)$$

Введём в рассмотрение когерентные состояния  $|a_{I,\omega}\rangle$ :

$$\hat{a}_{I,\omega} |a_{I,\omega}\rangle = a_{I,\omega} |a_{I,\omega}\rangle, \quad I = R, L \quad (16)$$

Матрица плотности для одной моды:

$$\hat{\rho}_{I,\omega} = \sum_n \frac{(\hat{a}_{I,\omega}^\dagger)^n}{\sqrt{n!}} |0\rangle \langle 0| \frac{(\hat{a}_{I,\omega})^n}{\sqrt{n!}} e^{-\omega\beta_I} \quad (17)$$

Для полной матрицы плотности:

$$\langle a | \hat{\rho} | a \rangle = \exp \left[ \int_0^\infty d\omega \sum_{I=R,L} \left( -\frac{1}{2} |a_{I,\omega}|^2 - \frac{1}{2} |a'_{I,\omega}|^2 + e^{-\omega\beta_I} a_{I,\omega}^* a'_{I,\omega} \right) \right] \quad (18)$$

В дальнейшем нам понадобится выражение матричного элемента  $\langle \varphi_i | \hat{\rho} | \varphi'_i \rangle$ , который можно записать в виде:

$$\langle \varphi_i | \hat{\rho} | \varphi'_i \rangle = \int Da Da^* Da' Da'^* \langle \varphi_i | a \rangle \langle a | \hat{\rho} | a' \rangle \langle a' | \varphi'_i \rangle \quad (19)$$

Можно вычислить в седловой точке:

$$\langle \varphi_i | \hat{\rho} | \varphi'_i \rangle \propto \exp \left[ \frac{i}{2} \int dx \left( -\varphi_i(x) \frac{\delta S[\varphi]}{\delta \varphi_i} - \varphi'_i(x) \frac{\delta S[\varphi]}{\delta \varphi'_i} \right) \right] \quad (20)$$

## 1.3 Вероятность распада

Амплитуда вероятности записывается в виде:

$$\langle \varphi_f | \hat{S} | \varphi_i \rangle = \langle \varphi_f | e^{-iH(t_f - t_i)} | \varphi_i \rangle = \int D\varphi e^{iS[\varphi]}, \quad (21)$$

$t_i, t_f$  — начальное и конечное время соответственно,  $\varphi_i$  и  $\varphi_f$  — начальная и конечная конфигурации соответственно,  $\hat{S}$  — оператор эволюции.

Вероятность туннелирования через функциональный интеграл:

$$\mathcal{P} = \int D\varphi_f D\varphi_i D\varphi'_i \langle \varphi_f | \hat{S} | \varphi_i \rangle \langle \varphi_i | \hat{\rho} | \varphi'_i \rangle \langle \varphi'_i | \hat{S}^\dagger | \varphi_f \rangle \quad (22)$$

где  $\varphi_i$  и  $\varphi'_i$  — начальные конфигурации поля,  $\varphi_f$  — конечная конфигурация, соответствующая истинному вакууму.

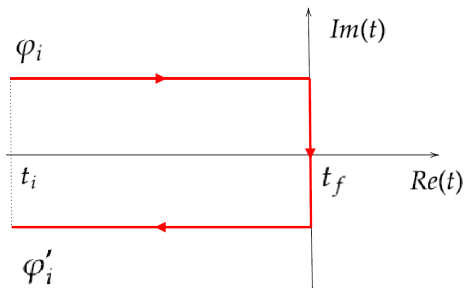
Поля  $\varphi(t, x)$  и  $\varphi'(t, x)$  можно представить как единое поле  $\varphi_C$  на контуре  $C$ .

Тогда выражение для вероятности принимает вид:

$$\mathcal{P} = \int D\varphi_C D\varphi_i D\varphi'_i e^{iS[\varphi_C]} \langle \varphi_i | \hat{\rho} | \varphi'_i \rangle \quad (23)$$

В седловой точке:

$$\mathcal{P} \sim e^{iS[\varphi_{cl}] + B[\varphi_{cl}]} \quad (24)$$



Контур на временной комплексной плоскости

S.Yu. Khlebnikov et al (1991)

V.A. Rubakov, M.E. Shaposhnikov (1996)

## Начальные условия

Граничный член  $B[\varphi_{cl}]$  имеет вид:

$$B[\varphi_{cl}] = \frac{i}{2} \int dx \left[ \varphi_{cl} \partial_t \varphi_{cl} \Big|_{t_i^{up}} + \varphi_{cl} \partial_t \varphi_{cl} \Big|_{t_i^{low}} \right] \quad (25)$$

Их можно выразить в виде условий на коэффициенты в разложении на моды для свободного поля  $\varphi_{cl}(t_i, x)$  при  $\text{Re}(t_i) \rightarrow -\infty$ :

$$\varphi(t_i^{up}, x) = \int_0^\infty \frac{d\omega}{\sqrt{4\pi\omega}} \sum_{I=R,L} \left[ c_{I,\omega}^{up} \varphi_{I,\omega}^+(t_i^{up}, x) + \bar{c}_{I,\omega}^{up} \varphi_{I,\omega}^-(t_i^{up}, x) \right] \quad (26)$$

$$\begin{aligned} c_{I,\omega}^{up} &= e^{-\omega\beta_I} c_{I,\omega}^{low} \\ e^{-\omega\beta_I} \bar{c}_{I,\omega}^{up} &= \bar{c}_{I,\omega}^{low} \end{aligned} \quad (27)$$



Значения поля  $\varphi_{cl}$  являются комплексно сопряженными в верхней и нижней полуплоскостях:

$$(\varphi_{cl}(t, x))^* = \varphi_{cl}(t^*, x) \quad (28)$$

Следствием этого являются условия в  $t = t_f$ :

$$\boxed{\text{Im}[\varphi_{cl}(t_f, x)] = \text{Re}[\partial_\tau \varphi_{cl}(t_f, x)] = 0} \quad (29)$$

и соотношения  $c_{l,\omega}^{low} = (\bar{c}_{l,\omega}^{up})^*$ ,  $\bar{c}_{l,\omega}^{low} = (c_{l,\omega}^{up})^*$ . Используя их, получаем:

$$\boxed{c_{l,\omega}^{up} = e^{-\omega\beta_l} (\bar{c}_{l,\omega}^{up})^*} \quad (30)$$

Таким образом, мы можем рассматривать только верхнюю часть контура  $C$

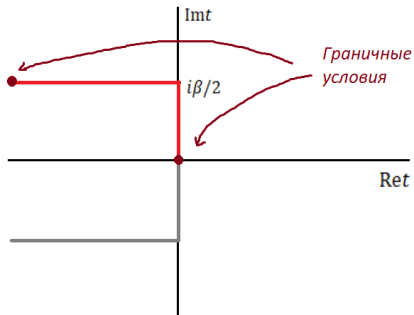


Рис. 9: Верхняя часть контура  $C$

При взятии действия по частям и подстановке уравнений движения выражение для вероятности принимает вид:

$$\mathcal{P} \sim e^{i\tilde{S}[\varphi_{cl}]} \quad (31)$$

$$\tilde{S}[\varphi_{cl}] = 4\pi \int_c dt \int_{-\infty}^{\infty} dx r^2(x) f(r) \left[ \frac{1}{2} V'_{int} \left( \frac{\varphi}{r} \right) - V_{int} \left( \frac{\varphi}{r} \right) \right] \quad (32)$$

где  $V(\phi)$  – неквадратичная часть потенциала. Заметим, что вклад дает только мнимая часть  $\tilde{S}$ , то есть  $\mathcal{P} \sim e^{-\text{Im}\tilde{S}[\varphi_{cl}]}$ .

Классическое уравнение поля можно вывести из действия:

$$\partial_t^2 \varphi - \partial_x^2 \varphi + U(x) \varphi + r^2 f(r(x)) V \left( \frac{\varphi}{r(x)} \right) = 0 \quad (33)$$

Дополнительные граничные условия:

$$\partial_x \varphi(t, -\infty) = \partial_x \varphi(t, +\infty) = 0 \quad (34)$$

## Равновесный случай

Период в случае теплового равновесия  $\beta = \beta_H = \beta_E$

Упрощенные граничные условия:

$$\partial_\tau \varphi(0, x) = \partial_\tau \varphi(\beta/2, x) = 0 \quad (35)$$

$$\partial_x \varphi(t, -\infty) = \partial_x \varphi(t, +\infty) = 0 \quad (36)$$

Вероятность распада:

$$\mathcal{P} \sim e^{-S_E} \quad (37)$$

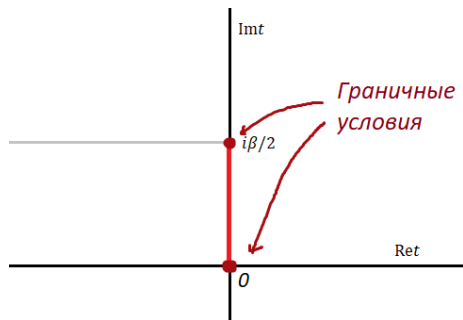


Рис. 10: Евклидовая часть контура  $\mathcal{C}$

## 2. Численное моделирование

Будем использовать метод Ньютона-Рафсона.

Введём сетку  $(N_t \times N_x)$ :  $x_0 = -L$ ,  $x_{N_x-1} = +L$ ,  $t_0 = \text{Re}[t_0] + i\text{Im}[t_0]$ ,  
 $t_{N_t-1} = 0$ ,  $\varphi_{ij} = \varphi(t_i, x_j)$ ,  $r_j = r(x_j)$ .

$$dx_j = x_{j+1} - x_j, \quad j = 0, \dots, N_x - 2 \quad (38)$$

$$d\tilde{x}_j = \frac{dx_{j-1} + dx_j}{2}, \quad j = 1, \dots, N_x - 2 \quad (39)$$
$$d\tilde{x}_0 = \frac{dx_0}{2}, \quad d\tilde{x}_{N_x-1} = \frac{dx_{N_x-2}}{2}$$

Аналогично для  $t$ .

A. N. Kuznetsov and P. G. Tinyakov (1997)

Дискретизованное уравнение:

$$\begin{aligned} F_{ij}(\varphi) = & -\frac{1}{d\tilde{t}_i} \left( \frac{\varphi_{i+1,j} - \varphi_{ij}}{dt_i} + \frac{\varphi_{i-1,j} - \varphi_{ij}}{dt_{i-1}} \right) + \\ & + \frac{1}{d\tilde{x}_j} \left( \frac{\varphi_{i,j+1} - \varphi_{ij}}{dx_j} + \frac{\varphi_{i,j-1} - \varphi_{ij}}{dx_{j-1}} \right) - \\ & - U(r_j) \varphi_{ij} - r_j^2 f(r_j) V'_\varphi \left( \frac{\varphi_{ij}}{r_j} \right) = 0, \end{aligned} \quad (40)$$

дискретизованные граничные условия:

$$\frac{\varphi_{i1} - \varphi_{i0}}{dx_0} = \frac{\varphi_{i,N_x-1} - \varphi_{i,N_x-2}}{dx_{N_x-2}} = 0 \quad (41)$$

В общем случае начальное условие:

$$\hat{B}^0 \varphi_0 + \hat{B}^+ \varphi_1 = 0, \quad (42)$$

Конечное условие:

$$\frac{\operatorname{Im}[\varphi_{N_t-1,j}] + \operatorname{Im}[\varphi_{N_t-2,j}]}{2} = \frac{\operatorname{Re}[\varphi_{N_t-1,j}] - \operatorname{Re}[\varphi_{N_t-2,j}]}{dt_{N_t-1}} = 0 \quad (43)$$

Для периодического инстантона  $t_0 = i\beta/2$ :

$$\frac{\varphi_{1j} - \varphi_{0j}}{dt_0} = \frac{\varphi_{N_t-1,j} - \varphi_{N_t-2,j}}{dt_{N_t-2}} = 0 \quad (44)$$

Таким образом, получаем систему нелинейных уравнений

$$\mathbf{F}(\varphi) = 0 \quad (45)$$

$$\hat{J}[\varphi_0] \mathbf{u} = -\mathbf{F}(\varphi_0), \quad (46)$$

где  $\hat{J}[\varphi]$  – якобиан функции  $\mathbf{F}(\varphi)$ ,  $\varphi$  решение уравнения, а  $\varphi_0$  приближенное решение,  $\varphi = \varphi_0 + \mathbf{u}$

### 3. Результаты

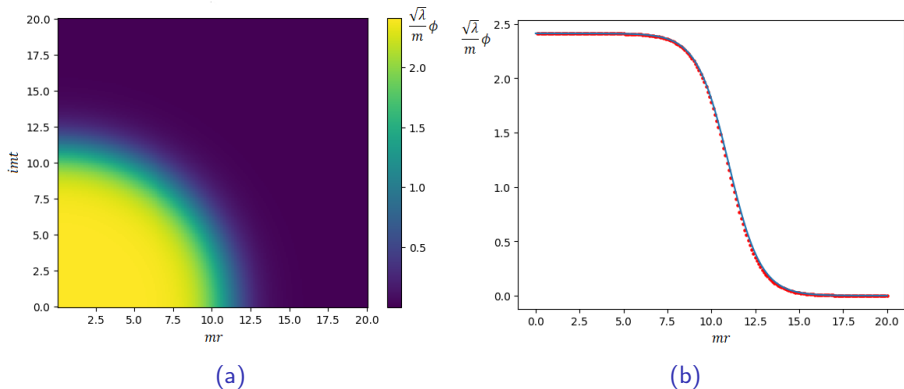
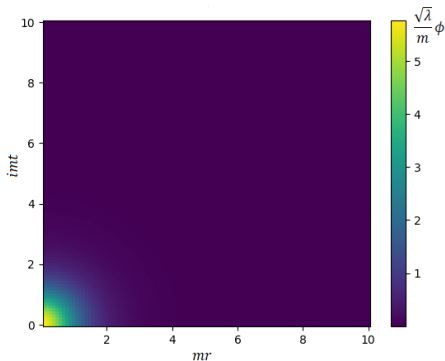
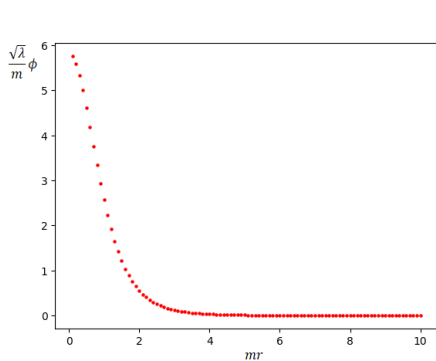


Рис. 11: (а) Инстантон  $\varphi(t, x)$  в плоском евклидовом пространстве-времени при  $\varepsilon = 0.1$ . (б) Профиль инстантона в момент времени  $t = 0$  (точки) и тонкостенное приближение (линия). Решетка  $N_t \times N_x = 200 \times 200$ .



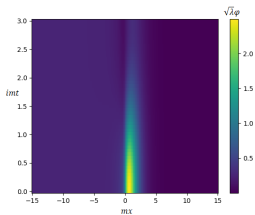


(a)

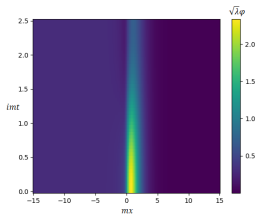


(b)

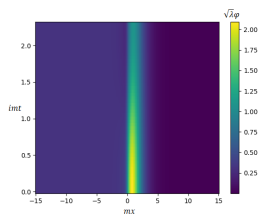
Рис. 12: (а) Инстантон  $\varphi(t, x)$  в плоском евклидовом пространстве-времени при  $\varepsilon = 1$ . (б) Профиль инстантона в момент времени  $t = 0$ . ( $N_t \times N_x = 100 \times 100$ ).



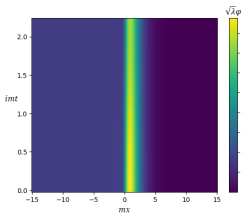
(a)  $m\beta/2 = 3$



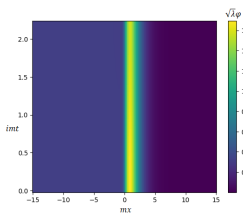
(b)  $m\beta/2 = 2.5$



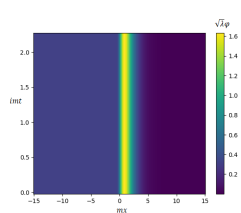
(c)  $m\beta/2 = 2.3$



(d)  $m\beta/2 = 2.22$

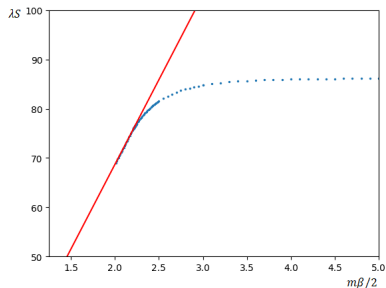


(e)  $m\beta/2 = 2.217$

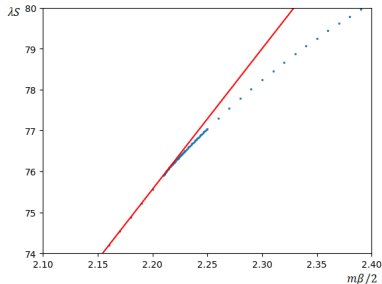


(f)  $m\beta/2 = 2.215$

Рис. 13: Периодические инстантоны при разных  $\beta$  в присутствии ЧД с радиусом  $mr_h = 2Mm/M_{Pl}^2 = 0.1$ . Период и масса здесь независимые параметры. ( $N_t \times N_x = 50 \times 300$ ).



(a)



(b)

Рис. 14: Евклидово действие  $S$  как функция от периода  $\beta$ .  
 Рассматриваются нетривиальные периодические инстантоны (синий) и статические солитоны (красный) при  $mr_h = 0.1$

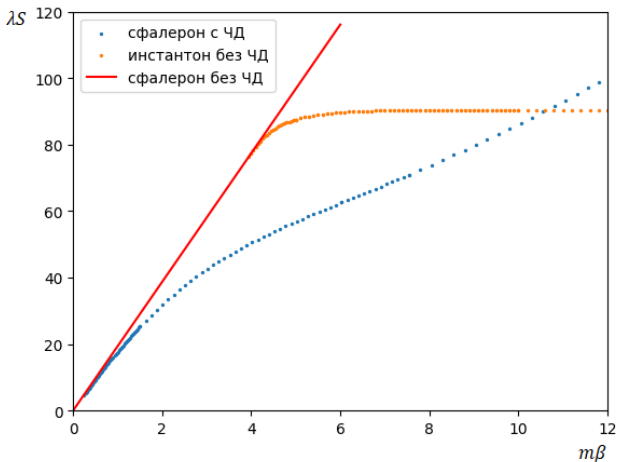


Рис. 15: Евклидово действие  $S$  как функция от обратной температуры среды  $\beta$ . Синие и оранжевые точки соответствуют распаду с ЧД с  $m\beta_H = m\beta$  и без ЧД соответственно. Красная линия показывает сфалероны в плоском пространстве, в которые переходят инстантоны при  $m\beta \rightarrow 0$ .

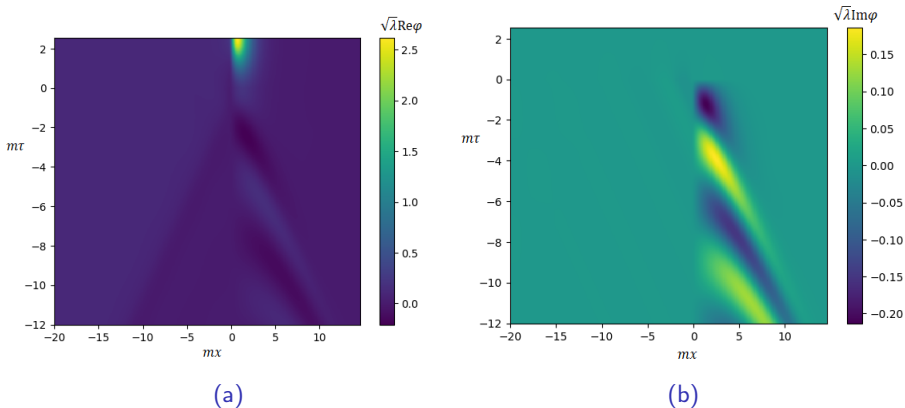


Рис. 16: Решение на верхней части контура  $\mathcal{C}$  при  $m\beta_E = \infty$ ,  $m\beta_H = 10 \times 8\pi Mm/M_{Pl}^2 \simeq 5.03$ ,  $mr_h = 0.04$ . Здесь по вертикальной оси отображен параметр  $\tau$  вдоль временного контура такой, что  $\tau = \text{Re}t_i = -12$  соответствует  $t = t_i$ ,  $\tau = 0 \leftrightarrow t = i\beta_H/2$ ,  $\tau = +\beta_H/2 \leftrightarrow t = 0$ . То есть  $\tau = 0$  обозначает точку поворота на контуре. ( $N_t \times N_x = 900 \times 400$ ).

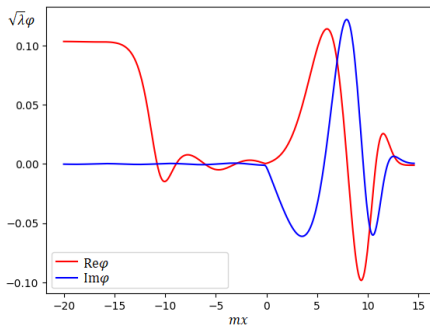


Рис. 17: Вещественная и мнимая часть решения (рис.16) в начальный момент времени. ( $N_t \times N_x = 900 \times 400$ ).

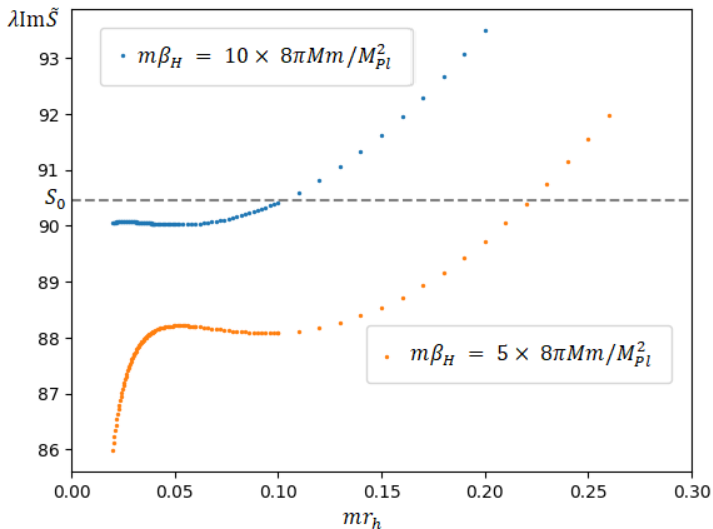


Рис. 18: Зависимость коэффициента экспоненциального подавления от радиуса горизонта ЧД при разном соотношении температуры и массы ЧД.

## Выводы

- При тепловом равновесии физические решения  $\beta = \beta_H$ , описывающие процесс, являются статическими сфалеронами
- $\beta \rightarrow 0$ : сфалероны с ЧД стремятся к сфалеронам без ЧД. Это означает, что малые ЧД  $mr_h \ll mr_b$  не меняют значительно сфалероны в горячей среде и соответствующие вероятности, в том числе.
- $\beta \rightarrow \infty$ : Большие ЧД  $mr_h \not\ll mr_b$  значительно изменяют геометрию пространства  $\implies$  меняют сфалеронные решения и вероятность распада.
- Вероятность распада вокруг ЧД сильно подавляется для больших ЧД, т.к. в таком случае нужно родить большой пузырь истинного вакуума
- Тем не менее существует область размеров ЧД, при которых вероятность распада увеличивается.



# Заключение

- Физических решений при температурах излучения Хокинга и рассмотрение диапазона малых ЧД.
- более реалистичный потенциал, такой как  $V(\phi) = \lambda\phi^4/4$ , чтобы оценить вероятность распада вакуума Хиггса, индуцированного ЧД.

# Благодарности

Автор благодарен Дмитрию Сергеевичу Горбунову и Дмитрию Геннадиевичу Левкову за научное руководство, полезные обсуждения и помощь в подготовке данной работы.

Спасибо за внимание